

## 박막 실리콘 결정화를 이용한 태양 전지

김 준동<sup>1</sup>, 윤 여환<sup>1</sup>, 이 응숙<sup>1</sup>, 한 창수<sup>1</sup>, Wayne A. Anderson<sup>2</sup><sup>1</sup>나노공정 장비 연구 센터, 한국기계연구원

대전 유성구 장동 171

<sup>2</sup>전기공학과, 뉴욕주립 대학교

## Metal-induced Grown Thin Crystalline Si films for Solar Cells

Joondong Kim, Yeo-Hwan Yoon, Eung-Sug Lee, Chang-Soo Han, Wayne A. Anderson

<sup>2</sup>Nano-Mechanical Systems Research Center, Korea Institute of Machinery and Materials

171 Jang, Yuseong

Daejeon 305-343, Korea

<sup>2</sup>Electrical Engineering, University at Buffalo, State University of New York

Bonner Hall, Buffalo, NY 14260, US

**Abstract** – 금속 촉매 성장 (Metal-induced growth) 를 이용하여, 마이크로 사이즈의 결정질 (Microcrystalline) 박막 실리콘 (Silicon, Si) 을 성장하였다. 금속 촉매로서는 코발트, 니켈, 코발트/니켈 복합물질 (Co, Ni, or Co/Ni) 이 사용되었으며, 실리콘과 반응하여 실리사이드 (Silicide) 층을 형성한다. 이러한 실리사이드 층은 실리콘과 격자 거리가 유사하여 (Little lattice mismatch), 그 위에 실리콘 박막을 성장하기 위한 모체 (Template) 가 된다. XRD (X-ray diffraction) 분석을 통하여, 실리사이드 ( $\text{CoSi}_2$  or  $\text{NiSi}_2$ ) 의 형성과 성장된 박막 실리콘의 결정성을 연구하였다. 이러한 박막을 이용하여, 쇼트키 태양전지 (Schottky Solar cell) 에 적용하였다. 코발트/니켈 복합물질을 이용하였을 경우에  $10.6 \text{ mA/cm}^2$  단락전류를 얻었으며, 이는 코발트만을 이용한 경우보다 10 배만큼 증가하였다. 이러한 실리사이드를 매개로한 박막 실리콘의 성장은 공정상에서의 열부담 (Thermal budget) 을 줄일 수 있으며, 대면적 응용에 큰 가능성을 가지고 있다.

### 1. 서 론

실리사이드 (Silicide) 저 저항의 특성과 병용의 장점으로 실리콘 기술에서 (Silicon technology) 접합 물질로 널리 사용 되어왔으며, 최근에 와서는 그러한 장점을 이용한 실리사이드 나노와이어의 연구가 활발히 진행되고 있다 [1-8]. 이러한 실리사이드 나노와이어는 나노사이즈 접합기술, 발광 소자, 그리고 나노소자를 이용한 현미경 탐침 (Nanoscale probing) 기술에 큰 전보를 가져올 것으로 예측되고 있다.

더욱이, 실리사이드는 실리콘 박막 (Si film)을 결정화 하는데 큰 장점이 있으며 공정온도를 획기적으로 낮출 수 있으므로, 박막 트랜지스터 (Thin film transistor, TFT) [9,10] 제작에 사용되고 있다. 금속촉매 결정화 (Metal-induced crystallization, MIC) 방법은 공정온도가  $500 - 600^\circ\text{C}$  로서, 전통적인 고체상의 결정화 (Solid Phase crystallization, SPC) 의  $1000^\circ\text{C}$  보다 열부담 (Thermal budget) 을 훨씬 줄일 수 있다. 또한 고체상 적층방식 (Solid phase epitaxy, SPE) 방식은 단결정 기판 (Single crystal substrate) 위에 적층을 만들 수 있는 방법으로 알려져 있다.

이 논문에서는 금속 매개 실리콘 결정질 성장 (Metal-induced growth, MIG) 방법에 대해서 기술하였다. 이 MIG 방식은 [11] SPC 와 SPE 의 장점을 취한 것으로서, 실리콘의 결정화와 박막 (Thin film) 성장을 동시에 할 수 있다. 또한 금속을 이용하여 공정온도를 낮출 수 있으므로 기술의 실제 활용에서 다른 구조물에 손상을 줄 위험을 크게 낮출 수 있다. 증착된 금속 촉매 ((Ni, Co, or Co/Ni)) 는 스퍼터링 (Sputtering) 된 실리콘과 작용하여, 실리사이드 층을 먼저 형성한다. 실리사이드와 실리콘은 작은 격자 차이 (Little lattice mismatch) 를 가지고 있는데, 코발트 실리사이드 ( $\text{CoSi}_2$ ) 의 경우 1.23 %이며, 니켈 실리사이드 ( $\text{NiSi}_2$ ) 의 경우에는 0.4 %이다. 연속적인 실리콘의 공급으로 실리콘이 적층되는데, 이 과정에서 실리콘은 실리사이드 층위에서 결정성을 가지며 성장하게 된다.

### 2. 본 론

#### 2.1 MIG 실리콘 박막 성장 및 분석 방법 개요

PECVD (Plasma-enhanced chemical vapor deposition) 을 이용

하여  $150 - 200 \text{ nm}$  두께의 실리카 (Silica,  $\text{SiO}_2$ ) 층을 형성하였는데, 이는 실리콘 기판으로의 금속 촉매의 확산을 방지하는 역할을 한다. 촉매는 코발트, 니켈, 코발트/니켈 복합물질 ((Ni, Co, or Co/Ni)) 을 사용하였으며, 공통적으로  $30 \text{ nm}$  의 두께를 갖도록 열증착 방식 (Thermal evaporation) 을 통하여 형성되었다. 실리콘의 공급은 DC 스퍼터링 시스템을 통하여 이루어 졌으며, 이때의 조건은  $2.12 - 8.5 \text{ W/cm}^2$  의 파워밀도 (Power density) 이며, 공정 온도는  $600 - 620^\circ\text{C}$  이다. MIG 방식을 통하여 결정질로 성장된 박막의 두께는  $2 - 3 \mu\text{m}$  이며, 전자현미경 (Field emission scanning electron microscope, FESEM, Hitachi S-9000) 를 통하여 관찰하였다. 원자력 현미경 (Atomic force microscope, AFM Qscope-250) 을 통하여 각각의 금속촉매에 의해 성장된 표면 변화를 측정하였으며, 엑스레이 회절 (X-ray diffraction) 을 통하여 각 촉매에 의하여 성장된 실리콘 박막의 결정성을 분석하였다.

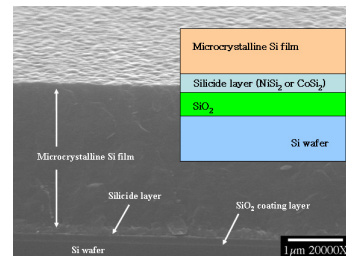


그림 1. SEM 단면적 사진- $2.5 \mu\text{m}$  두께의 박막 실리콘이 실리사이드층 위에 성장되었다.  $160 \text{ nm}$  의  $\text{SiO}_2$  층은 실리콘 기판으로의 금속 확산을 방지한다.

#### 2.2 MIG 실리콘 박막의 표면 분석

그림 1에서 보이는 것은 실리사이드 층위에 성장된 실리콘 박막의 단면 현미경사진이다. 실리콘 필름 (Film) 의 두께는  $2.5 \mu\text{m}$  이며, 세 가지 다른 종류의 금속촉매 (Ni, Co, Co/Ni) 에 의하여 성장된 표면의 변화를 AFM 으로 관측한 것으로 공통적으로  $5 \mu\text{m}$  의 범위를 스캔ning 하였으며, 그림 2 e 나타나 있다. 니켈을 이용한 경우 그림 2 (a)의 경우 큰 결정 사이즈 (Grain size) 를 형성하였으며, 평균 크기는  $740 \text{ nm}$  이며, 코발트의 경우 (b) 는 상대적으로 작은  $70 - 200 \text{ nm}$  의 크기를 갖는다. Co/Ni 복합물을 사용하였을 경우의 (c) 결정크기는  $300 - 700 \text{ nm}$  로서 Co 를 단독으로 사용하였을 때 보다 크게 향상 되었는데, Ni과 Co 물질에 대한 복합사용이 결정 크기를 향상시킨 것으로 판단되며, 균일한 결정 크기를 형성하는 데 기여한 것으로 생각된다. 각각의 결정 크기의 표준 편자는 Ni 의 경우 34.4 %, Co 의 경우 53.5 %, 그리고 Co/Ni 복합물의 경우 43.4 % 로 조사되었다.

실리콘 박막의 결정성장에 대해서는 XRD 를 통하여 연구하였으며, 그림 2 (d), (e), (f) 에서 각각 Ni, Co, Co/Ni 의 경우를 보이고 있다. 실리콘 박막의 결정성은 사용된 금속 실리사이드 ( $\text{CoSi}_2$  or  $\text{NiSi}_2$ )에 측

견 성장 (Shouldering growth)를 보였으며, (111), (220), (311) 성장 방향이 관찰되었다. 이는 유사 결정 성장 (Heteroepitaxy)을 보이는 것으로, 실리사이드위에서 실리콘 층이 그 실리사이드의 구조와 유사하게 결정형을 이루며 성장하는 것을 보여주는 것이다.

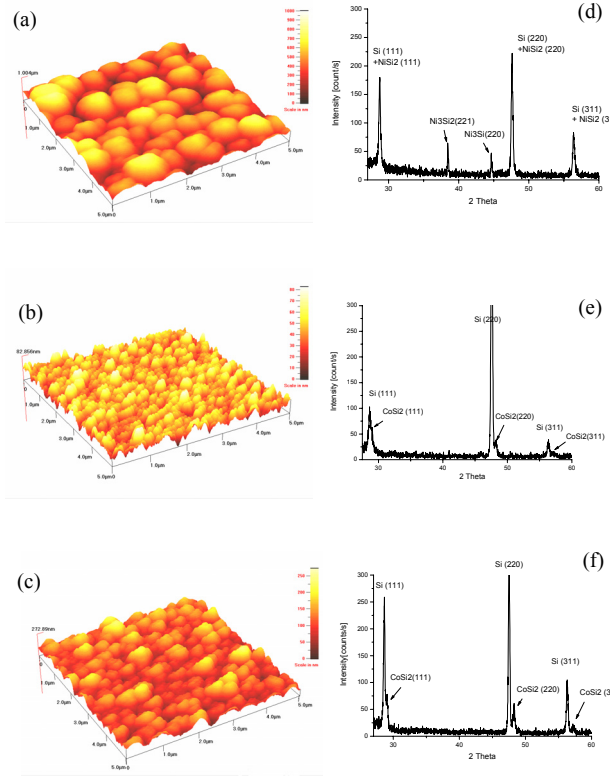


그림 2. 성장된 실리콘 박막에 대한 AFM 관찰 및 X-ray 스펙트럼 분석 - Ni 매개:(a) 와 (d), Co 매개:(b) 와 (e), Co/Ni 매개:(c) 와 (f);

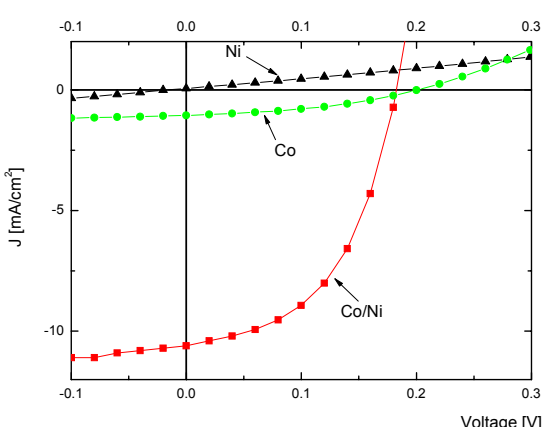


그림 3. 기준 태양광에서의 전기 특성 - Ni의 경우 선형의 결과를 보였으며, Co의 경우에는 안정적인 Schottky 특성을 보인다. Co/Ni의 경우 단락 전류에서 큰 증가를 가져온다.

## 2.2 쇼트키 태양 전지 (Schottky solar cells) 제작 및 특성 분석

우수한 결정질로 성장된 MIG 실리콘 박막은 태양 전지 (Photodiode)로의 응용이 가능한데, 10 nm 의 Au 을 Schottky 금속층으로 도포 (Coating) 하여 형성할 수 있다. 그 구조는 그림 3에서 보이는 것과 같이 Au/mc-Si film/metal silicide의 연속층으로 이루어져 있으며, 실리사이드는 저 저항 특성이 있으므로 그 자체로 후미 접합층으로 이용될 수 있다. 기준 태양광 ( $100 \text{ mW/cm}^2$ ) 을 통하여 전기 특성을 구하였다. Ni의 경우 Schottky 접합의 형성이 완전히 이루어 지지 않아 Ohmic 특성을 보이고 있는데, 이는 Ni 성분이 실리콘 박막에 확산으로 박막 실리콘에 Ni로 오염되었기 (Contaminated) 때문이다. Co의 경우는 안정적인 Schottky 특성을 제공하지만, 결정 크기가 작기 때문에, 우수한 전기 특성을 보이지는 못하였다. Co/Ni의 경우가 가장 성능이 우수 하였는데,  $10.6 \text{ mA/cm}^2$ 의 단락전류 (Short circuit current,  $J_{sc}$ ) 및 183 mV의 개방전압 (Open circuit voltage,  $V_{oc}$ )의 특성을 보였다.

## 3. 결 론

금속 측매를 매개로 하여 마이크로 사이즈 결정질의 실리콘 박막 (Metal-induced grown microcrystalline thin film silicon) 을 성장시켰다. 세 가지 종류의 금속 (Ni, Co, Co/Ni) 을 사용하였다. 고체상의 실리콘을 이용하여 금속층과 반응하면, 그에 해당하는 실리사이드 ( $\text{CoSi}_2$  or  $\text{NiSi}_2$ )이 먼저 형성되고, 그 위에 실리콘 층이 측면 성장 (Shouldering growth) 하는 것을 확인 할 수 있었다. 두께가 2 - 3  $\mu\text{m}$ 로 성장된 MIG 실리콘 박막은 쇼트키 태양 전지 (Schottky solar cells)로 응용되었는데, Ni의 경우 큰 결정 사이즈를 제공하지만, Ni 오염의 문제가 있었고, Co의 경우는 안정적인 쇼트키 접합을 이루지만, 결정의 크기가 작았다. Co와 Ni을 복합하여 사용한 경우는 각 경우의 장점만을 취하여, 개선된 결정질 크기와 안정적인 쇼트키 접합을 얻을 수 있으며, 단락 전류에서 Co 단독 사용의 경우보다 10 배 이상 향상된 결과를 얻을 수 있었다. 실리사이드를 매개로 한 (MIG) 박막 실리콘 성장 기법은 공정상에서의 열부담 (Thermal budget) 을 줄일 수 있으며, 대면적 응용에 큰 가능성을 가지고 있다.

저자들은 본 연구에 대한 다음과 같은 재정 지원에 감사드립니다. National Science Foundation (NSF, US, ECS-0324893) and Ministry of Science and Technology (MOST, Korea, 21C frontier program).

## [참 고 문 헌]

- [1] L. Dong, J. Bush, V. Chirayos, R. Solanki, J. Jiao, Y. Ono, J. F. Conley, Jr., and B. D. Ulrich, Nano letters **5**, 2112 (2005).
- [2] Y. Wu, J. Xiang, C. Yang, W. Lu, and C. M. Lieber, Nature **430**, 61 (2004).
- [3] K. S. Lee, Y. H. Mo, K. S. Nahm, H. W. Shim, E. K. Suh, J. R. Kim, and J. J. Kim, Chem. Phys. Lett. **384**, 215 (2004).
- [4] C. A. Decker, R. Solanki, J. L. Freeouf, J. R. Carruthers, and D. R. Evans, Appl. Phys. Lett. **84**, 1389 (2004).
- [5] J. Kim and W. A. Anderson, Thin Solid Films **483**, 60 (2005).
- [6] J. Kim, W. A. Anderson, Y. -J Song, and G.. Kim, Appl. Phys. Lett. **86**, 253101 (2005).
- [7] J. Kim and W.A. Anderson, Nano letters **6**, 1356 (2006).
- [8] J. Kim, J. -U. Bae, W. A. Anderson, H. - M. Kim, and K. - B. Kim, J. Mater. Res. **21**, 2936 (2006).
- [9] Y. -G. Yoon, M. -S. Kim, G. - B. Kim, and S. -K. Joo, IEEE Electron Device Lett. **24**, 649 (2003).
- [10] M. -S. Kim, J. -S. Lee, Y. -S. Kim, and S. -K. Kim, and S. -K Joo. Electrochim. Solid-State Lett. **9**, G56-G58 (2006).
- [11] J. Kim and W. A. Anderson, Appl. Surf. Sci. **253**, 3053 (2007).